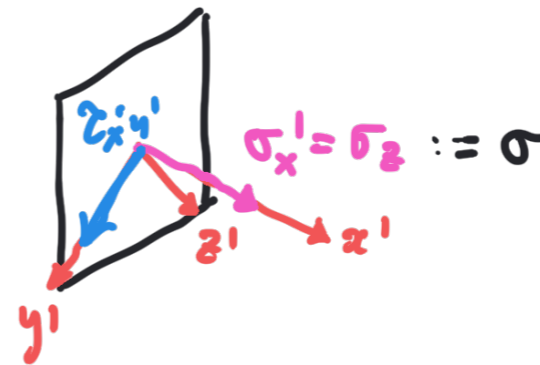
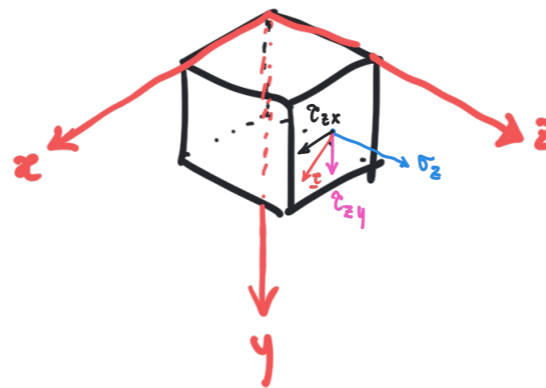


Saint-Venant

$$\underline{T} = \begin{bmatrix} 0 & 0 & \tau_{zx} \\ 0 & 0 & \tau_{zy} \\ \tau_{xz} & \tau_{yz} & \sigma_z \end{bmatrix}$$

$$(*) \quad [\underline{T}]' = \begin{bmatrix} \sigma & \tau & 0 \\ \tau & 0 & 0 \\ 0 & 0 & 0 \end{bmatrix}$$



Memo:

$$\sigma_{idT} = \max \{ |\sigma_1 - \sigma_2|, |\sigma_1|, |\sigma_2| \} = ?$$

$$\sigma_{idMM} = \sqrt{\sigma_1^2 + \sigma_2^2 - \sigma_1 \sigma_2}$$

$$\tau_{x'y'} = |\underline{\tau}| := \tau$$

Adoperando un riferimento opportuno possiamo rappresentare il flusso della forza nella forma (*), dove τ è il modulo del vettore delle tensioni tangenziali.

Questa forma si presta più agevolmente alle determinazioni delle tensioni prin. pal.

Saint-Venant

$$\underline{T} = \begin{bmatrix} 0 & 0 & \tau_{zy} \\ 0 & 0 & \tau_{zy} \\ \tau_{xz} & \tau_{yz} & \sigma_z \end{bmatrix}$$

$$\sigma_1 = \frac{1}{2}(\sigma + \sqrt{\sigma^2 + 4\tau^2})$$

$$\sigma_2 = \frac{1}{2}(\sigma - \sqrt{\sigma^2 + 4\tau^2})$$

$$[\underline{T}]' = \begin{bmatrix} \sigma & \tau & 0 \\ \tau & 0 & 0 \\ 0 & 0 & 0 \end{bmatrix}$$

$$[\underline{T}]'' = \begin{bmatrix} \sigma_1 & 0 & 0 \\ 0 & \sigma_2 & 0 \\ 0 & 0 & 0 \end{bmatrix}$$

$$\det \begin{pmatrix} \sigma - \lambda & \tau \\ \tau & -\lambda \end{pmatrix} = -\lambda(\sigma - \lambda) - \tau^2$$

$$\lambda^2 - \sigma\lambda - \tau^2 = 0$$

$$\lambda_{1,2} = \frac{\sigma \pm \sqrt{\sigma^2 + 4\tau^2}}{2}$$

Memo:

$$\sigma_{idT} = \max\{|\sigma_1 - \sigma_2|, |\sigma_1|, |\sigma_2|\}$$
$$\sigma_{idMM} = \sqrt{\sigma_1^2 + \sigma_2^2 - \sigma_1\sigma_2} = ?$$

Per calcolare le tensioni ideali non conviene usare le espressioni di σ_1 e σ_2 . È più conveniente procedere per altra via.

OSS:

$$(*) \begin{cases} \sigma_1 + \sigma_2 = \sigma \\ \sigma_1 \sigma_2 = -\tau^2 \end{cases}$$

traccia e det della sottom. 2x2 (invarianti)

$$\sigma_{idHMM} = \sqrt{\sigma^2 + 3\tau^2}$$

$$[T]' = \begin{bmatrix} \sigma & \tau & 0 \\ \tau & 0 & 0 \\ 0 & 0 & 0 \end{bmatrix}$$

$$[T]'' = \begin{bmatrix} \sigma_1 & 0 & 0 \\ 0 & \sigma_2 & 0 \\ 0 & 0 & 0 \end{bmatrix}$$

$$(*)_1 \Rightarrow \sigma_1^2 + \sigma_2^2 + 2\sigma_1\sigma_2 = \sigma^2$$

$$\sigma_{idHMM}^2 + 3\sigma_1\sigma_2$$

$$\sigma_{idHMM}^2 - 3\tau^2$$

Hemo:

$$\sigma_{idT} = \max\{|\sigma_1 - \sigma_2|, |\sigma_1|, |\sigma_2|\}$$

$$\sigma_{idHMM} = \sqrt{\sigma_1^2 + \sigma_2^2 - \sigma_1\sigma_2}$$

Si osserva che le sottomatrici evidenziate in blu hanno gli stessi invarianti (traccia e determinante). Ne segue che (*), dalla quale, con qualche passaggio si ottiene direttamente l'espressione di σ_{idHMM} .

OSI:

traccia e det della sottom. 2x2 (invarianti)

$$(*) \begin{cases} \sigma_1 + \sigma_2 = \sigma \\ \sigma_1 \sigma_2 = -\tau^2 \end{cases}$$

$$\sigma_{idHM} = \sqrt{\sigma^2 + 3\tau^2}$$
$$\sigma_{idT} = \sqrt{\sigma^2 + 4\tau^2}$$

$$|\sigma_1 - \sigma_2|^2 = \sigma_1^2 + \sigma_2^2 - 2\sigma_1\sigma_2 = \sigma^2 + 4\tau^2 \Rightarrow |\sigma_1 - \sigma_2| = \sqrt{\sigma^2 + 4\tau^2}$$

$$(*) \Rightarrow \sigma_1^2 + \sigma_2^2 = \sigma^2 - 2\sigma_1\sigma_2 = \sigma^2 + 2\tau^2 \leq \sigma^2 + 4\tau^2$$

$$\Rightarrow |\sigma_1|, |\sigma_2| \leq |\sigma_1 - \sigma_2|$$

$$(*)_1 \Rightarrow \sigma_1^2 + \sigma_2^2 + 2\sigma_1\sigma_2 = \sigma^2 \quad (*)_2$$

$$\begin{aligned} & \parallel \\ & \sigma_{idHM}^2 + 3\sigma_1\sigma_2 \\ & \parallel (*)_2 \\ & \sigma_{idHM}^2 - 3\tau^2 \end{aligned}$$

Memo:

$$\sigma_{idT} = \max\{|\sigma_1 - \sigma_2|, |\sigma_1|, |\sigma_2|\}$$
$$\sigma_{idHM} = \sqrt{\sigma_1^2 + \sigma_2^2 - \sigma_1\sigma_2}$$

Dei passaggi un pochino più elaborati permettono di ricavare anche la tensione ideale secondo Tresca. Si noti che Tresca attribuisce allo stato tensionale \underline{T} una tensione ideale maggiore di quella secondo von Mises, e che le due coincidono quando $\tau = 0$ (stato uniaxiale).